

09

© 1991 г.

## ГЕНЕРАЦИЯ ИМПУЛЬСНЫХ НАПРЯЖЕНИЙ ИЗМЕНЯЮЩЕЙСЯ ПОД ДЕЙСТВИЕМ СОБСТВЕННЫХ ТОКОВ ИНДУКТИВНОСТЬЮ <sup>1</sup>

П. И. Зубков

Жидкий контур с током, предоставленный самому себе, будет развиваться в направлении увеличения индуктивности. На увеличивающейся индуктивности возникает эдс, управляющая током в контуре. Рассмотрена эта ситуация на примере простых моделей в плоской и цилиндрической геометрии и предложена возможная модель работы плазменных прерывателей тока.

### Введение

В [2, 3] рассмотрен вывод энергии из индуктивного накопителя изменяющейся индуктивностью участка контура. Показано, что независимо от способа увеличения индуктивности часть электромагнитной энергии, запасенной в накопителе, переходит в кинетическую энергию движущихся частей увеличивающейся индуктивности.

Переход электромагнитной энергии в кинетическую является следствием общего принципа: любая несвязанная механическая система, предоставленная самой себе, развивается в направлении уменьшения потенциальной энергии. Таким образом ведет себя и жидкий контур из идеальных проводников с током. Энергия взаимодействия токов переходит в кинетическую энергию движущихся участков контура. Иными словами, электромагнитные силы действуют в направлении увеличения индуктивности, вызывая возникновение эдс индукции, управляющей током и напряжениями на отдельных участках цепи. Генерация напряжений при этом происходит за счет преобразования электромагнитной энергии, запасенной в контуре, в кинетическую энергию движущихся проводников.

Рассмотрим контур из идеальных проводников, состоящий из недеформируемой части с индуктивностью  $L_0$  (накопитель) и деформируемой части с изменяющейся индуктивностью  $L$ . На недеформируемой части, так же как и на деформируемой, возникает эдс индукции  $\mathcal{E} = -L_0 \dot{J} = (L\dot{J})$ , управляющая током.

Характерной особенностью возникающей эдс является наличие максимума. Действительно, в начальный момент времени  $\mathcal{E} = 0$ , так как равны нулю  $L$  и  $\dot{L}$ , контур еще не успел сдвинуться и набрать скорость. В конце процесса  $\mathcal{E}$  обращается в нуль, так как теперь  $J$  и  $\dot{J}$  равны нулю, процесс перехода электромагнитной энергии в кинетическую закончился. Следует заметить, что максимум достигается вблизи начала процесса, так как уже при  $L = L_0$  половина энергии взаимодействия токов перейдет в кинетическую. Именно наличие максимума  $\mathcal{E}$  в начале процесса определяет возможность практического использования данного явления для генерации напряжения.

В настоящей работе на примере простейших моделей рассматриваются некоторые особенности возникновения эдс индукции при увеличении индуктивности под действием электромагнитных сил собственных токов.

1. Плоский рельсотрон. Более подробно рассмотрим пример с плоским рельсотроном (рис. 1). Здесь  $L_0$  — индуктивность накопителя,

<sup>1</sup> Кратко качественные результаты изложены в [1].

$L(x)$  — индуктивность рельсотрона, когда движущаяся перемычка прошла путь  $x$ ;  $m$  — масса перемычки, имеющая в данный момент времени скорость  $v$ . Для простоты будем считать массу постоянной, перемычку недеформируемой, так что все участки ее имеют одни и те же скорость и ускорение. Джоулевые потери не учитываем.

В этих приближениях законы сохранения энергии и потока будут

$$\frac{L_0 J_0^2}{2} + \frac{mv^2}{2} = \frac{(L_0 + L) J^2}{2} + \frac{mv^2}{2},$$

$$L_0 J_0 = (L_0 + L) J,$$

где  $u_0$  — начальная скорость перемычки;  $J_0$  — накопленный ток;  $J$  и  $v$  — ток и скорость перемычки в момент времени, когда индуктивность рельсотрона равна  $L$ .

Законы сохранения для эдс  $\mathcal{E}$  в любой момент времени дают выражение

$$\mathcal{E} = -L_0 \dot{J} = \frac{2mv\dot{v}}{J_0},$$

в котором  $\dot{v}$  — ускорение перемычки.

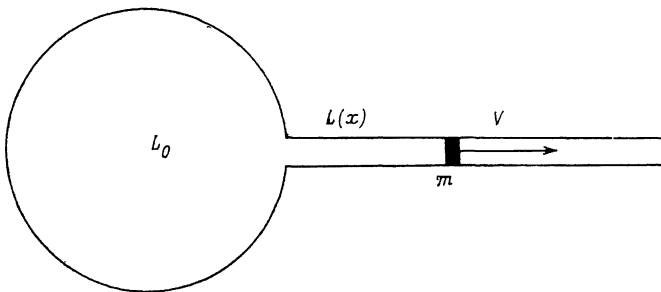


Рис. 1.

Из этого выражения следует, что величина  $\mathcal{E}$  в рельсотроне рассматриваемой геометрии ограничена. Действительно она не может превосходить предельного значения, равного

$$\mathcal{E}_{\text{пр}} = \frac{2mv_0 \dot{v}_{\text{max}}}{J_0} = v_0 J_0 \frac{dL}{dx},$$

где  $v_0$  — максимальная скорость перемычки, достигаемая при  $J \rightarrow 0$  и  $L \rightarrow \infty$ ;  $\dot{v}_{\text{max}}$  — максимальное ускорение, равное ускорению в начальный момент времени

$$\dot{v}_{\text{max}} = \frac{J_0^2}{2m} \frac{dL}{dx}.$$

Для нахождения  $\mathcal{E}$  выразим  $v$  и  $\dot{v}$  через текущую индуктивность  $L$  рельсотрона

$$v = v_0 \left( \frac{1 - \alpha + L/L_0}{1 + L/L_0} \right)^{1/2}, \quad \dot{v} = \frac{J_0^2}{2m} \frac{\frac{dL}{dx}}{(1 + L/L_0)^2}.$$

В этих выражениях  $\alpha = L_0 J_0^2 / mv_0^2$  — отношение энергии, запасенной в накопителе, к предельной энергии перемычки,  $0 \leq \alpha \leq 1$ . Подставляя полученные зависимости в выражение для  $\mathcal{E}$  получим

$$\mathcal{E} = \mathcal{E}_{\text{пр}} \frac{(1 - \alpha + L/L_0)^{1/2}}{(1 + L/L_0)^{5/2}},$$

откуда следует, что максимальное значение  $\mathcal{E}$ , так же как и  $\mathcal{E}_{\text{пр}}$ , будет

$$\sim \frac{dL}{dx} \frac{1}{\sqrt{L_0 m}} \frac{L_0 J_0^2}{2} = \frac{dL}{dx} \frac{W_0}{\sqrt{L_0 m}},$$

где  $W_0$  — накопленная энергия.

Для получения больших напряжений необходимо накапливать энергию при больших токах и малых индуктивностях. Рельсотрон же должен быть спроектирован для достижения наибольших  $dL/dx$ .

Полученное выражение для  $\mathcal{E}$  справедливо не только для рассматриваемой геометрии рельсотрона, но и во всех случаях, в которых все участки деформируемой части контура имеют одни и те же скорости и ускорение.

Из приведенного выражения следует важный вывод о влиянии уступа на внутреннем электроде в случае коаксиального рельсотрона [4, 5]. Коаксиальный рельсотрон при  $(R-r) \ll r$  практически не отличается от рельсотрона с плоской геометрией. В выражении для  $\mathcal{E}$  все величины изменяются плавно,  $dL/dx$  до уступа практически постоянна и имеет резкий скачок при прохождении перемычкой уступа, соответствующий резкому росту и  $\mathcal{E}$ .

В зависимости  $\mathcal{E}$  от  $L$  имеется максимум при  $L=L_0((5/4)\alpha-1)$ , из которого следует, что  $\alpha$  должно быть больше  $4/5$ . Оказывается, что начальная скорость не должна быть слишком большой, при  $\alpha=4/5$  максимум  $\mathcal{E}$  достигается в самом начале процесса. Начальная энергия перемычки не должна превосходить  $1/5$  от энергии, запасенной в накопителе, иначе максимум  $\mathcal{E}$  не достигается.

Максимальное значение  $\mathcal{E}_{\max} \simeq (0.286/\alpha^2) \mathcal{E}_{\text{пр}}$ . При  $\alpha=4/5$   $\mathcal{E}_{\max} \simeq 0.45 \mathcal{E}_{\text{пр}}$ , а при  $\alpha=1$  перемычка двигается без начальной скорости,  $\mathcal{E}_{\max} \simeq 0.286 \mathcal{E}_{\text{пр}}$  и достигается при  $L=L_0/4$ , т. е. действительно вблизи начала процесса ( $L \rightarrow \infty$ ).

Время достижения  $\mathcal{E}_{\max}$  найдем из решения уравнения движения. Для этого введем безразмерные переменные  $y=L/L_0$  и  $\tau=(dL/dx)(v_0/L_0)t$ , в которых уравнение для  $v$  примет вид

$$\frac{dy}{d\tau} = \left( \frac{1-\alpha+y}{1+y} \right)^{1/2}.$$

Решением его, удовлетворяющим начальным условиям  $y=0$  при  $\tau=0$ , будет функция

$$\tau = \alpha \ln \frac{\sqrt{1+y} + \sqrt{1-\alpha+y}}{1+\sqrt{1-\alpha}} + \sqrt{(1+y)(1-\alpha+y)} - \sqrt{1-\alpha},$$

из которой следует, что  $\mathcal{E}_{\max}$  достигается при  $\tau \simeq 1$  или в момент времени  $t \simeq (L_0 J_0) / \mathcal{E}_{\text{пр}}$ . В 3 раза от максимальной  $\mathcal{E}$  убывает к моменту времени  $t \simeq 2.5 ((L_0 J_0) / \mathcal{E}_{\text{пр}})$ .

Возникающая при движении перемычки эдс обусловлена двумя причинами: деформацией контура ( $\dot{L}J$ ) и изменением тока на возросшей к этому времени индуктивности  $L$  ( $L\dot{J}$ ). В связи с этим представляет интерес первый член  $\mathcal{E}_1 = = \dot{L}J$ . Его общее выражение отличается от  $\mathcal{E}$  степенью знаменателя

$$\mathcal{E}_1 = \mathcal{E}_{\text{пр}} \frac{(1-\alpha+L/L_0)^{1/2}}{(1+L/L_0)^{3/2}},$$

поэтому максимум имеет при  $L=L_0((3/2)\alpha-1)$ , равный  $\mathcal{E}_{1\max} \simeq (0.38/\alpha) \mathcal{E}_{\text{пр}}$ , при  $\alpha=4/5$   $\mathcal{E}_{1\max} \simeq 0.5 \mathcal{E}_{\text{пр}}$ .

Из полученных соотношений следует, что в зависимости от задач, решаемых рассматриваемым устройством, снятие напряжения следует производить из различных участков рельсотрона и в наиболее выгодный момент времени. Что же касается коаксиального рельсотрона с уступом, упоминаемого выше, то  $\mathcal{E}_1$  будет в  $(1+L/L_0)$  раз выше в месте уступа,  $L$  — индуктивность рельсотрона до уступа. Сам же уступ необходимо размещать в том месте, где достигается максимальное значение эдс.

**2. Цилиндрическая геометрия.** Вначале рассмотрим случай, когда ток течет поперек образующей (рис. 2). Будем считать, что все участки деформируемой части контура двигаются с одинаковыми скоростями, направ-

енными по радиусу, и имеющими одинаковые ускорения, пренебрежем перераспределением тока и массы вдоль образующей. Кроме того, для простоты счета будем рассматривать длинный цилиндр, пренебрежем краевыми эффектами, чтобы считать его индуктивность  $L$  равной

$$L = \mu_0 \frac{\pi r^2}{l} = kr^2.$$

Существенным отличием рассматриваемого случая является достижение максимума ускорения не в начальный момент времени, а в некоторый другой после начала процесса. Это связано с тем, что при постоянной массе движущейся части контура масса, приходящаяся на единицу поверхности цилиндра, уменьшается.

Выражение для ускорения в зависимости от радиуса цилиндра

$$\dot{v} = \frac{J_0^2}{2m} \frac{2kr}{\left(1 + \frac{kr^2}{L_0}\right)^2},$$

имеет максимум при  $r = \sqrt{L_0/(3k)}$ , равный

$$\dot{v}_{\max} = \frac{3\sqrt{3}}{16} \frac{J_0^2}{m} \sqrt{kL_0},$$

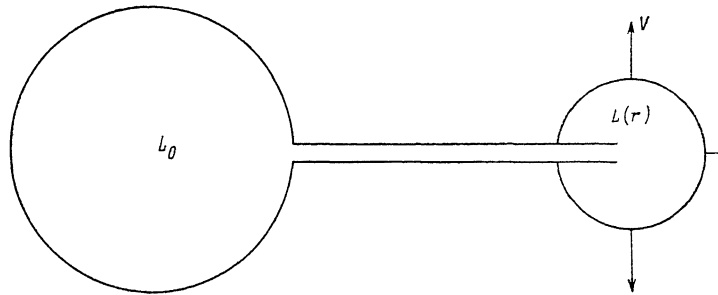


Рис. 2.

что для  $\mathcal{E}_{\text{пр}}$  дает

$$\mathcal{E}_{\text{пр}} = \frac{3\sqrt{3}}{8} J_0 v_0 \sqrt{kL_0}.$$

Поступая, как и в предыдущем случае, получим, что  $\mathcal{E}$  имеет максимум при  $r = ((2/3)/(L_0/k))^{1/2}$ , равный  $\mathcal{E}_{\max} \approx 0.57\mathcal{E}_{\text{пр}}$ .

Время достижения  $\mathcal{E}_{\max}$  можно найти из решения уравнения движения, которому удовлетворяет функция

$$\tau = \frac{y^2 - y_0^2}{\sqrt{1+y^2} + \sqrt{1+y_0^2}} + \ln \frac{yy_0}{(\sqrt{1+y^2} + 1)(\sqrt{1+y_0^2} + 1)},$$

где  $\tau = v_0 \sqrt{k/L_0} t$  и  $y = r \sqrt{k/L_0}$  — безразмерные переменные,  $y_0 = r_0 \sqrt{k/L_0}$  — значение  $y$  при  $\tau = 0$ .

Существование начальный радиус цилиндра, при  $r_0 \rightarrow 0$  процесс не будет развиваться в описываемом направлении, так как при этом и  $\dot{v} = 0$ .

Функцию  $\tau = \tau(y, y_0)$  можно использовать для вычисления времени достижения заданной величины  $\mathcal{E}$  и, в частности,  $\mathcal{E}_{\max}$  при  $y = 2/3$ . С другой стороны, эта функция дает зависимость  $r_0$  от времени достижения заданного значения  $\mathcal{E}$ .

Аналогичным образом можно рассмотреть соленоид, расширяющийся под действием внутреннего поля. Индуктивность соленоида  $L = (\mu_0 N^2 \pi r^2)/l = \beta r^2$ . Заменяя в полученных выражениях  $k$  на  $\beta$ , получим значения интересующих нас величин. В частности, для  $\mathcal{E}_{\text{пр}}$  имеем выражение

$$\mathcal{E}_{\text{пр}} = \frac{3\sqrt{3}}{8} J_0 v_0 N \sqrt{\frac{\mu \pi L_0}{l}}.$$

В случае соленоида  $\mathcal{E}_{np}$  в  $N$  раз превосходит  $\mathcal{E}_{np}$  цилиндра ( $N$  — количество витков).

3. *Z* - п и н ч. Выше рассмотрены модели, в которых индуктивность стремится к бесконечности при стремлении к бесконечности координаты, вдоль которой расширяется контур. Характерной особенностью *z*-пинча (рис. 3) является то обстоятельство, что индуктивность стремится к бесконечности при конечном изменении координаты. Задачу будем рассматривать в предположениях, принятых выше. Индуктивность в этом случае

$$L = \frac{\mu_0 l}{2\pi} \ln \frac{R}{r},$$

где  $l$  и  $r$  — длина и текущий радиус деформируемого цилиндра,  $R$  — радиус внешнего токовода.

В зависимости от величины  $l$  ускорение и вместе с ним  $\mathcal{E}$  ведут себя по-разному.

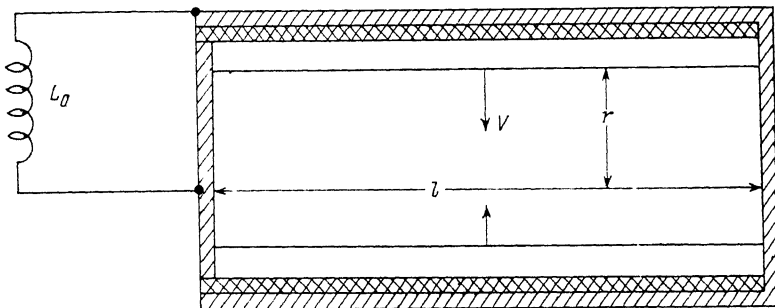


Рис. 3.

При  $l > (\pi/\mu_0) L_0$  ускорение от некоторого начального убывает по абсолютной величине и достигает минимума при

$$r = R \exp \left\{ -\frac{2\mu_0 l - 2\pi L_0}{\mu_0 l} \right\},$$

затем неограниченно возрастает.  $\mathcal{E}$  при этом растет, достигает максимума, убывает, достигает минимального значения и далее также неограниченно возрастает.

При  $l < (\pi/\mu_0) L_0$  ускорение и  $\mathcal{E}$  растут с самого начала процесса, формально математически  $\dot{v}$  и  $\mathcal{E} \rightarrow \infty$  при  $r \rightarrow 0$ . Предельное значение  $\mathcal{E}$  отсутствует.

Физически ясно, что  $r$  не может быть равным нулю. Даже при идеально развивающемся процессе конечная масса не может занимать нулевой объем. Развитие неустойчивостей, характерных для такого типа движений, рост давления и температуры на оси деформируемого цилиндра и другие причины в реальных процессах приведут к остановке сжатия при конечном радиусе.

4. Плазменные прерыватели тока. Неустойчивости. В плазменных прерывателях тока деформируемой частью контура является плазма с протекающим током, инжектируемая плазменными пушками вдоль радиуса коаксиального накопителя. Электромагнитные силы, действующие на ток в плазме, будут приводить к увеличению индуктивности контура за счет движения плазмы вдоль накопителя с одной стороны и к увеличению индуктивности за счет перераспределения токов в азимутальной плоскости. Перераспределение токов и движение плазмы в азимутальной плоскости могут быть обусловлены неустойчивостью плоского слоя по отношению к росту индуктивности. Плазма может пинчеваться, в ней могут развиваться изгибные и винтовые неустойчивости. Развитию неустойчивостей способствует неоднородность плазмы и протекающего тока (плазма инжектируется несколькими пушками), неоднородность магнитного поля, различие магнитного давления у внешнего и центрального электродов и т. д. Перераспределение тока в азимутальной плоскости приводит к изменению индуктивности не только плазмен-

ного слоя, но и самих электродов, в них также произойдет перераспределение тока. Возможно, определяющую роль играет именно азимутальное движение.

Возрастающая из-за развития неустойчивостей индуктивность приводит к переключению токов и, следовательно, к значительному уменьшению его через плазму, что в свою очередь приводит к уменьшению проводимости и распаду плазмы, т. е. к полному прекращению тока через плазменную перемычку.

Уверенность в преобладающей роли предлагаемого механизма придает возможность качественного объяснения особенностей (количество плазменных пушек, переменный диаметр внутреннего электрода, время задержки, полярность, работа на спадающем токе и т. д.) работы прерывателей. Предлагаемый механизм может оказаться преобладающим и в работе плазмонаполненных диодов.

Предлагая данный механизм в качестве возможного, определяющего, мы не отвергаем предлагавшиеся ранее модели [6, 7, 8], а считаем, что в явлении прерывания тока в той или иной степени они проявляются в совокупности, усиливая и дополняя друг друга.

Из изложенного выше становится ясным, что развитие гидродинамических неустойчивостей, приводящих к росту индуктивности, организация развития и управление ими могут использоваться для генерации высоких напряжений и управления током.

Характерной особенностью рассматриваемых неустойчивостей является движение плазмы, которое в первую очередь ответственно за перераспределение тока. С другой стороны, движение плазмы определяется ее инерционностью, которая накладывает ограничение на скорость перераспределения тока и скорость роста индуктивности, а в конечном счете и на величины генерируемых напряжений. В связи с этим интересной с этой точки зрения является перегретая неустойчивость [9], она может развиваться до начала развития гидродинамического движения, инерционные свойства на ее развитие не влияют, поэтому перераспределение тока может происходить со значительно большими скоростями и приводить к большим величинам генерируемых напряжений.

В заключение следует заметить, что в рамках данной работы мы не рассматривали многие факторы, такие как джоулев нагрев, излучение, конечная изменяющаяся проводимость, процессы на электродах и др., оказывающие сильное влияние на протекание реальных процессов. Учет всех факторов с одной стороны затруднителен, с другой — не всегда необходим. Техническая реализация метода может быть осуществлена широким набором решений, в каждом из которых может быть преобладающим определенный фактор. Цель же нашей работы состояла в том, чтобы показать возможность генерации напряжений изменяющейся под действием собственных токов индуктивностью.

Автор признателен Л. А. Лукьянчикову за проявленный интерес к работе и поддержку.

#### Список литературы

- [1] *Зубков П. И.* // Письма в ЖТФ. 1988. Т. 14. Вып. 24. С. 2294—2296.
- [2] *Зубков П. И., Лукьянчиков Л. А., Тен К. А.* // Тез. докл. III Всесоюз. конф. «Импульсные источники энергии». Л., 1989. 232 с.
- [3] *Зубков П. И., Лукьянчиков Л. А., Тен К. А.* // Тез. докл. V Междунар. конф. по генерации мегагауссовых магнитных полей и родственным экспериментам. Новосибирск, 1989. 156 с.
- [4] *Kania D. R., Jones L. A., Zimmermann E. L. et al.* // Appl. Phys. Lett. 1984. Vol. 44 (8). P. 741—743.
- [5] *Kania D. R., Zimmermann E. L., Trainor R. J. et al.* // Appl. Phys. Lett. 1984. Vol. 45 (1). P. 26—28.
- [6] *Ottinger P. F., Goldstein S. A., Meger R. A.* // J. Appl. Phys. 1984. Vol. 56 (3). P. 774—784.
- [7] *Manson R. J., Jones M. E., Grossmann J. M. et al.* // J. Appl. Phys. 1988. Vol. 64 (8). P. 4208—4211.
- [8] *Гордеев А. В., Кингсен А. С., Чукбар К. В.* и др. // Тез. докл. Междунар. совещания по физике и технике мощных прерывателей тока. Новосибирск, 1989. 96 с.
- [9] *Александров А. Ф., Рухадзе А. А.* Физика сильноточных электроразрядных источников света. М.: Атомиздат, 1976. 184 с.

Институт гидродинамики  
им. М. А. Лаврентьева  
Новосибирск

Поступило в Редакцию  
27 декабря 1989 г.

В окончательной редакции  
31 января 1991 г.